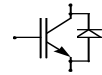


Technische Information / Technical Information

IGBT-Module
IGBT-Modules

FF 200 R17 KE3

eupec



vorläufige Daten
preliminary data

Höchstzulässige Werte / Maximum rated values

Elektrische Eigenschaften / Electrical properties

Kollektor-Emitter-Sperrspannung collector-emitter voltage	$T_{vj} = 25^{\circ}\text{C}$	V_{CES}	1.700	V
Kollektor-Dauergleichstrom DC-collector current	$T_C = 80^{\circ}\text{C}$	$I_{C,nom.}$	200	A
	$T_C = 25^{\circ}\text{C}$	I_C	390	A
Periodischer Kollektor Spitzenstrom repetitive peak collector current	$t_p = 1\text{ ms}, T_C = 80^{\circ}\text{C}$	I_{CRM}	400	A
Gesamt-Verlustleistung total power dissipation	$T_C = 25^{\circ}\text{C}$, Transistor	P_{tot}	1250	W
Gate-Emitter-Spitzenspannung gate-emitter peak voltage		V_{GES}	+/- 20V	V
Dauergleichstrom DC forward current		I_F	200	A
Periodischer Spitzenstrom repetitive peak forw. current	$t_p = 1\text{ ms}$	I_{FRM}	400	A
Grenzlastintegral der Diode I^2t - value, Diode	$V_R = 0\text{V}, t_p = 10\text{ms}, T_{vj} = 125^{\circ}\text{C}$	I^2t	5,4	kA^2s
Isolations-Prüfspannung insulation test voltage	RMS, $f = 50\text{ Hz}, t = 1\text{ min.}$	V_{ISOL}	3,4	kV

Charakteristische Werte / Characteristic values

Transistor / Transistor

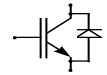
			min.	typ.	max.	
Kollektor-Emitter Sättigungsspannung collector-emitter saturation voltage	$I_C = 200\text{A}, V_{GE} = 15\text{V}, T_{vj} = 25^{\circ}\text{C}$	$V_{CE\text{ sat}}$	-	2,0	2,45	V
	$I_C = 200\text{A}, V_{GE} = 15\text{V}, T_{vj} = 125^{\circ}\text{C}$		-	2,4	-	V
Gate-Schwellenspannung gate threshold voltage	$I_C = 8\text{mA}, V_{CE} = V_{GE}, T_{vj} = 25^{\circ}\text{C}$	$V_{GE(th)}$	5,2	5,8	6,4	V
Gateladung gate charge	$V_{GE} = -15\text{V} \dots +15\text{V}$	Q_G	-	1,2	-	μC
Eingangskapazität input capacitance	$f = 1\text{MHz}, T_{vj} = 25^{\circ}\text{C}, V_{CE} = 25\text{V}, V_{GE} = 0\text{V}$	C_{ies}	-	17	-	nF
Rückwirkungskapazität reverse transfer capacitance	$f = 1\text{MHz}, T_{vj} = 25^{\circ}\text{C}, V_{CE} = 25\text{V}, V_{GE} = 0\text{V}$	C_{res}	-	0,6	-	nF
Kollektor-Emitter Reststrom collector-emitter cut-off current	$V_{CE} = 1700\text{V}, V_{GE} = 0\text{V}, T_{vj} = 25^{\circ}\text{C}$	I_{CES}	-	-	5	mA
Gate-Emitter Reststrom gate-emitter leakage current	$V_{CE} = 0\text{V}, V_{GE} = 20\text{V}, T_{vj} = 25^{\circ}\text{C}$	I_{GES}	-	-	400	nA

prepared by: Alfons Wiesenthal

date of publication: 2002-07-15

approved by: Christoph Lübke; 2002-07-15

revision: 2.0



vorläufige Daten
preliminary data

Charakteristische Werte / Characteristic values

Transistor / Transistor

min. typ. max.

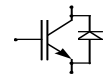
Einschaltverzögerungszeit (ind. Last) turn on delay time (inductive load)	$I_C = 200A, V_{CE} = 900V$	$t_{d,on}$	-	0,25	-	μs
	$V_{GE} = \pm 15V, R_G = 6,8\Omega, T_{vj} = 25^\circ C$ $V_{GE} = \pm 15V, R_G = 6,8\Omega, T_{vj} = 125^\circ C$		-	0,30	-	μs
Anstiegszeit (induktive Last) rise time (inductive load)	$I_C = 200A, V_{CE} = 900V$	t_r	-	0,10	-	μs
	$V_{GE} = \pm 15V, R_G = 6,8\Omega, T_{vj} = 25^\circ C$ $V_{GE} = \pm 15V, R_G = 6,8\Omega, T_{vj} = 125^\circ C$		-	0,10	-	μs
Abschaltverzögerungszeit (ind. Last) turn off delay time (inductive load)	$I_C = 200A, V_{CE} = 900V$	$t_{d,off}$	-	0,85	-	μs
	$V_{GE} = \pm 15V, R_G = 6,8\Omega, T_{vj} = 25^\circ C$ $V_{GE} = \pm 15V, R_G = 6,8\Omega, T_{vj} = 125^\circ C$		-	1,00	-	μs
Fallzeit (induktive Last) fall time (inductive load)	$I_C = 200A, V_{CE} = 900V$	t_f	-	0,12	-	μs
	$V_{GE} = \pm 15V, R_G = 6,8\Omega, T_{vj} = 25^\circ C$ $V_{GE} = \pm 15V, R_G = 6,8\Omega, T_{vj} = 125^\circ C$		-	0,20	-	μs
Einschaltverlustenergie pro Puls turn-on energy loss per pulse	$I_C = 200A, V_{CE} = 900V, V_{GE} = \pm 15V$ $R_G = 6,8\Omega, T_{vj} = 125^\circ C, L_{\sigma} = 60nH$	E_{on}	-	80	-	mJ
Abschaltverlustenergie pro Puls turn-off energy loss per pulse	$I_C = 200A, V_{CE} = 900V, V_{GE} = \pm 15V$ $R_G = 6,8\Omega, T_{vj} = 125^\circ C, L_{\sigma} = 60nH$	E_{off}	-	65	-	mJ
Kurzschlußverhalten SC Data	$t_p \leq 10\mu sec, V_{GE} \leq 15V$ $T_{vj} \leq 125^\circ C, V_{CC} = 1000V, V_{CEmax} = V_{CES} - L_{\sigma CE} \cdot di/dt$	I_{SC}	-	740	-	A
Modulinduktivität stray inductance module	Anschlüsse / terminals: 2 - 3	$L_{\sigma CE}$	-	20	-	nH
Modulleitungswiderstand, Anschlüsse - Chip module lead resistance, terminals - chip	$T_C = 25^\circ C, \text{ pro Zweig / per arm}$	R_{CC+EE}	-	0,60	-	m Ω

Charakteristische Werte / Characteristic values

Diode / Diode

min. typ. max.

Durchlaßspannung forward voltage	$I_F = 200A, V_{GE} = 0V, T_{vj} = 25^\circ C$	V_F	-	1,8	2,2	V
	$I_F = 200A, V_{GE} = 0V, T_{vj} = 125^\circ C$		-	1,9	-	V
Rückstromspitze peak reverse recovery current	$I_F = 200A, - di_F/dt = 2600A/\mu s$	I_{RM}	-	220	-	A
	$V_R = 900V, V_{GE} = -15V, T_{vj} = 25^\circ C$ $V_R = 900V, V_{GE} = -15V, T_{vj} = 125^\circ C$		-	230	-	A
Sperrverzögerungsladung recovered charge	$I_F = 200A, - di_F/dt = 2600A/\mu s$	Q_r	-	50	-	μC
	$V_R = 900V, V_{GE} = -15V, T_{vj} = 25^\circ C$ $V_R = 900V, V_{GE} = -15V, T_{vj} = 125^\circ C$		-	85	-	μC
Abschaltenergie pro Puls reverse recovery energy	$I_F = 200A, - di_F/dt = 2600A/\mu s$	E_{rec}	-	25	-	mJ
	$V_R = 900V, V_{GE} = -15V, T_{vj} = 25^\circ C$ $V_R = 900V, V_{GE} = -15V, T_{vj} = 125^\circ C$		-	50	-	mJ



**vorläufige Daten
preliminary data**

Thermische Eigenschaften / Thermal properties

			min.	typ.	max.	
Innerer Wärmewiderstand thermal resistance, junction to case	Transistor / transistor, DC	R_{thJC}	-	-	0,10	K/W
	Diode/Diode, DC		-	-	0,16	K/W
Übergangs-Wärmewiderstand thermal resistance, case to heatsink	pro Modul / per module $\lambda_{Paste} = 1 \text{ W/m}^2\text{K}$ / $\lambda_{grease} = 1 \text{ W/m}^2\text{K}$	R_{thCK}	-	0,01	-	K/W
Höchstzulässige Sperrschichttemperatur maximum junction temperature		$T_{vj\ max}$	-	-	150	°C
Betriebstemperatur operation temperature		T_{vjop}	-40	-	125	°C
Lagertemperatur storage temperature		T_{stg}	-40	-	125	°C

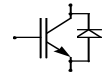
Mechanische Eigenschaften / Mechanical properties

Gehäuse, siehe Anlage case, see appendix						
Innere Isolation internal insulation				Al_2O_3		
Kriechstrecke creepage distance				20		mm
Luftstrecke clearance				11		mm
CTI comperative tracking index				425		
Anzugsdrehmoment f. mech. Befestigung mounting torque	Schraube / screw M6	M	3	-	6	Nm
Anzugsdrehmoment f. elektr. Anschlüsse terminal connection torque	Anschlüsse / terminals M6	M	2,5	-	5	Nm
Gewicht weight		G		340		g

Mit dieser technischen Information werden Halbleiterbauelemente spezifiziert, jedoch keine Eigenschaften zugesichert.

Sie gilt in Verbindung mit den zugehörigen Technischen Erläuterungen.

This technical information specifies semiconductor devices but promises no characteristics. It is valid in combination with the belonging technical notes.



vorläufige Daten
preliminary data

